

Lokalna konvertibilnost u 1D magnetskim sistavima

BERNARD FAULEND

MENTORI: FABIO FRANCHINI, SALVATORE MARCO GIAMPAOLO

Pregled

- prepletost u mnogočestičnim sustavima i definicija lokalne konvertibilnosti
- spin- $\frac{1}{2}$ XY lanac
- rezultati
 - ne-frustrirani lanac
 - frustrirani lanac
 - W stanja

Prepletjenost u mnogočestičnim sustavima

- egzotični fenomeni u međudjelujućim mnogočestičnim kvantnim sustavima
- kvantna simulacija  veza s kvantnom teorijom informacija i kvantnim računalima
- Je li moguće efikasno klasično simulirati kvantni mnogočestični sustav?
 proučavanje lokalne konvertibilnosti

Lokalna konvertibilnost

- složeni sustav AB – podjela na podsustave A, B
- lokalne operacije i klasična komunikacija (LOCC)
- Može li se transformacija $|\psi_1\rangle \rightarrow |\psi_2\rangle$ stanja sustava AB izvesti pomoću LOCC na podsustavima A i B?
- nemogućnost implicira dugodosežnu, neklasičnu koherenciju između A i B

Renyijeve entropije

- mjera prepletenosti među podsustavima

- Definicija: $S_\alpha = \frac{1}{1-\alpha} \log \left(\text{Tr}(\rho_A^\alpha) \right)$ uz $\rho_A = \text{Tr}_B |\psi\rangle\langle\psi|$

$$S_0 = \log R$$

- Parametar $\alpha \in [0, \infty]$ 

$$S_1 = -\text{Tr}(\rho_A \log \rho_A)$$
$$S_\infty = -\log(\lambda_{max})$$

- Kriterij za lokalnu konvertibilnost: $S_\alpha(\rho_1) \geq S_\alpha(\rho_2)$ za sve Renyijeve entropije pri transformaciji $|\psi_1\rangle \rightarrow |\psi_2\rangle$

XY model

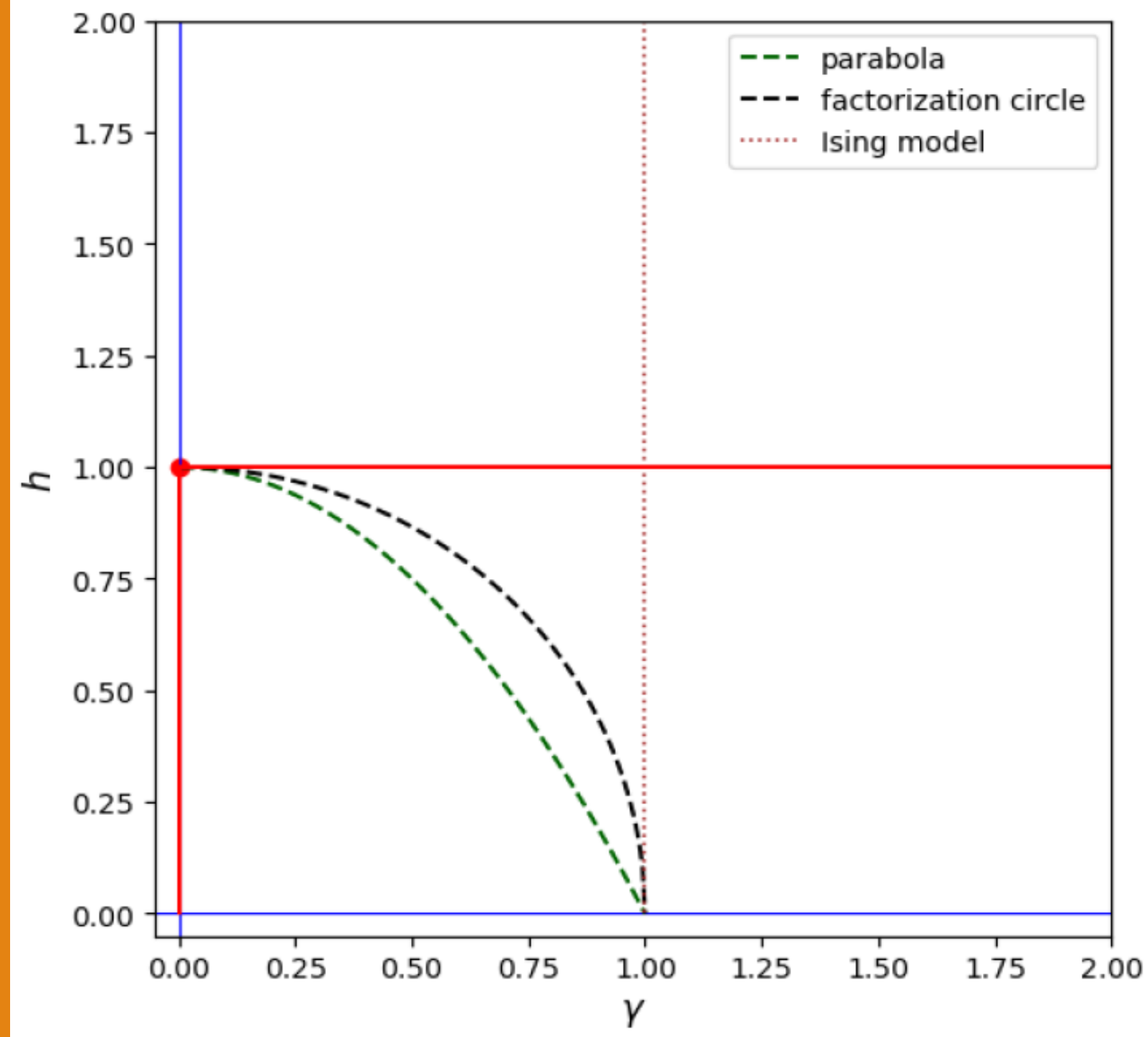
$$H = J \sum_{j=1}^N \left(\frac{1+\gamma}{2} \sigma_j^x \sigma_{j+1}^x + \frac{1-\gamma}{2} \sigma_j^y \sigma_{j+1}^y - h \sigma_j^z \right)$$

- egzaktno rješiv u jednoj dimenziji
- Jordan-Wignerova transformacija – mapiranje na fermione $\psi_j = \left(\prod_{l=1}^{j-1} \sigma_l^z \right) \sigma_j^+$
- Fourierov transformat $\psi_q = \frac{e^{-i\pi/4}}{\sqrt{N}} \sum_{j=1}^N e^{-iqj} \psi_j$
- Bogoliubovljeva rotacija $b_q = \cos \theta_q \psi_q + \sin \theta_q \psi_{-q}^\dagger$ $\theta_q = \frac{1}{2} \arctan \left(\frac{\gamma \sin q}{h + \cos q} \right)$

Dijagonalizacija XY lanca

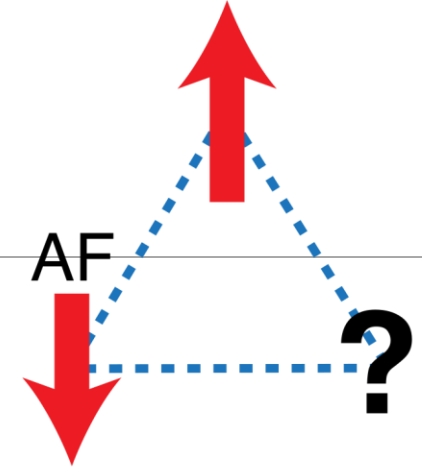
- dijagonalizirani Hamiltonijan $H = \frac{1 + \Pi_z}{2} H^+ \frac{1 + \Pi_z}{2} + \frac{1 - \Pi_z}{2} H^- \frac{1 - \Pi_z}{2}$
$$H^- = \sum_{q \in \Gamma^- - \{0\}} \Lambda(q) (b_q^\dagger b_q - \frac{1}{2}) + \epsilon(0) (b_0^\dagger b_0 - \frac{1}{2}) \quad H^+ = \sum_{q \in \Gamma^+ - \{\pi\}} \Lambda(q) (b_q^\dagger b_q - \frac{1}{2}) + \epsilon(\pi) (b_\pi^\dagger b_\pi - \frac{1}{2})$$
- Paritet $\Pi_z = \prod_{i=1}^N \sigma_i^z$
- disperzijska relacija $\Lambda(q) = |h + \cos q + i\gamma \sin q|; \quad q \neq 0, \pi$
$$\epsilon(0) = h + 1, \quad \epsilon(\pi) = h - 1$$

Fazni dijagram



Frustracija

- nemoguće istovremeno minimizirati sve članove u Hamiltonijanu
- veća degeneracija osnovnog stanja
- kvantni fazni prijelaz
- Spinski lanac: antiferomagnetske interakcije ($J>0$), periodični rubni uvjeti $\sigma_j^\alpha = \sigma_{j+N}^\alpha$, neparan broj spinova N
- Kako utječe na lokalnu konvertibilnost?

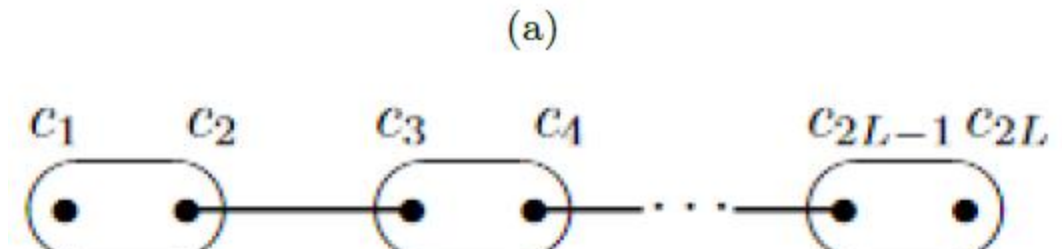
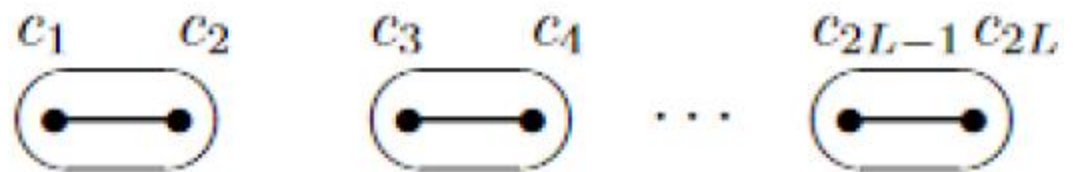


Korelacijska matrica

- Izvrjednjavanje Renyijevih entropija moguće iz korelacijske matrice s $O(L^2)$ elemenata
- Majorana fermioni $A_i = \psi_i^\dagger + \psi_i, \quad B_i = i(\psi_i - \psi_i^\dagger)$
- Elementi matrice $C_{2i,2j} = \langle A_i A_j \rangle - \delta_{i,j}, \quad C_{2i,2j+1} = \langle A_i B_j \rangle$
 $C_{2i+1,2j} = \langle B_i A_j \rangle \quad C_{2i+1,2j+1} = \langle B_i B_j \rangle - \delta_{i,j}$
- Renyijeve entropije $S_\alpha = \frac{1}{1-\alpha} \sum_{j=1}^L \log \left(\left(\frac{1+\nu_j}{2} \right)^\alpha + \left(\frac{1-\nu_j}{2} \right)^\alpha \right)$
- Svojstvene vrijednosti matrice gustoće $\{\lambda_l\} = \prod_{j=1}^L \left(\frac{1 \pm \nu_j}{2} \right)$

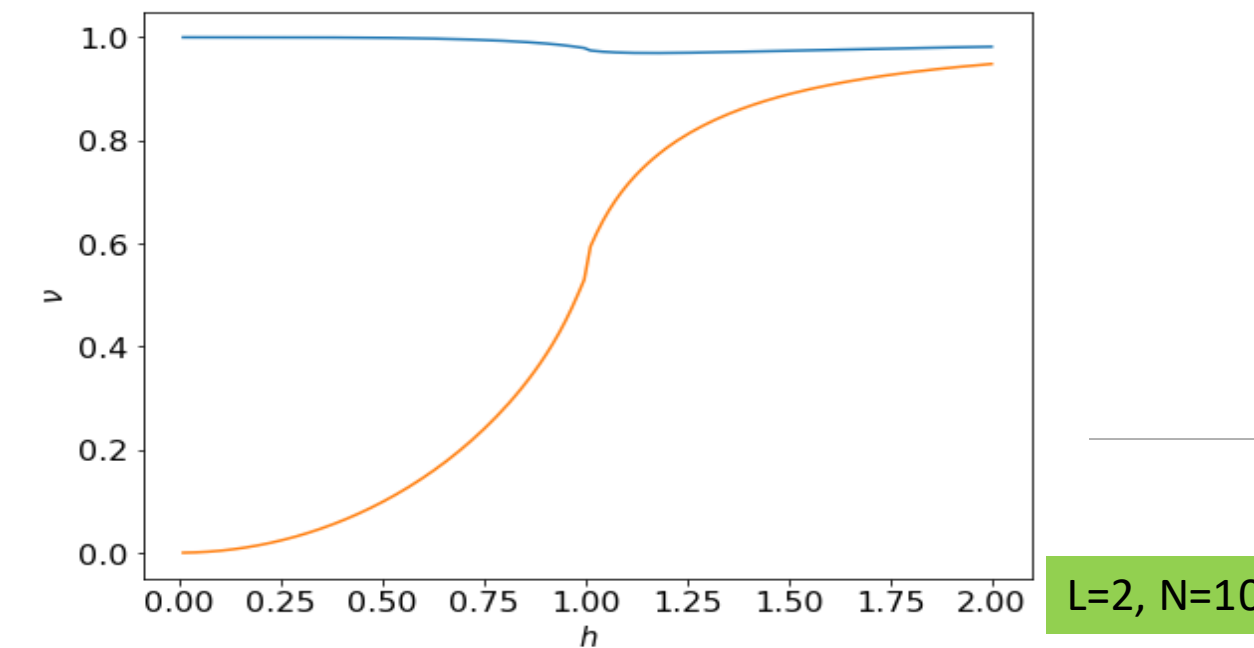
Rekombinacija rubnih stanja

- Koreacijska duljina raste s približavanjem prema faznom prijelazu
 - Više stupnjeva slobode je prepleteno
 - Rast Renyijevih entropija s malim parametrom α
- Ako Renyijeve entropije s visokim α padaju, nema lokalne konvertibilnosti
 - Dugodosežna prepletost
- Mehanizam: rekombinacija rubnih stanja Majorana fermiona

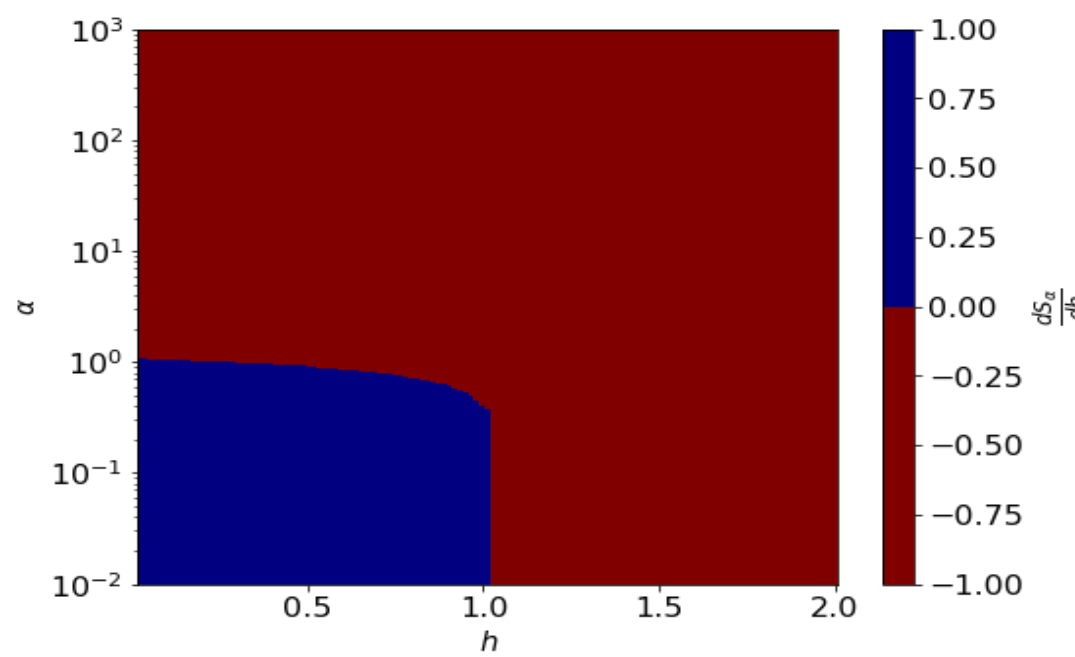


A. Y. Kitaev, Unpaired majorana fermions in quantum wires, Physics-Uspekhi 44, 131 (2001).

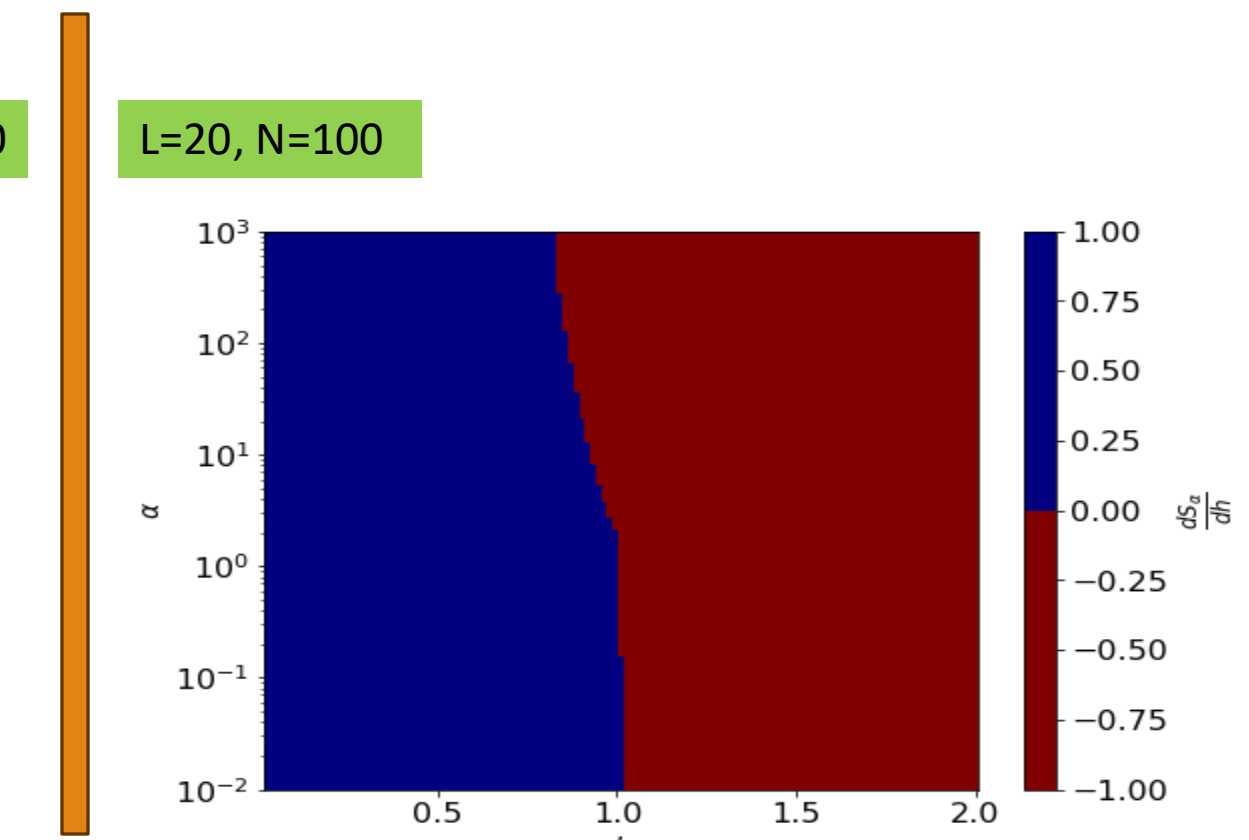
Ne-frustrirani Isingov lanac - rezultati



$L=2, N=100$

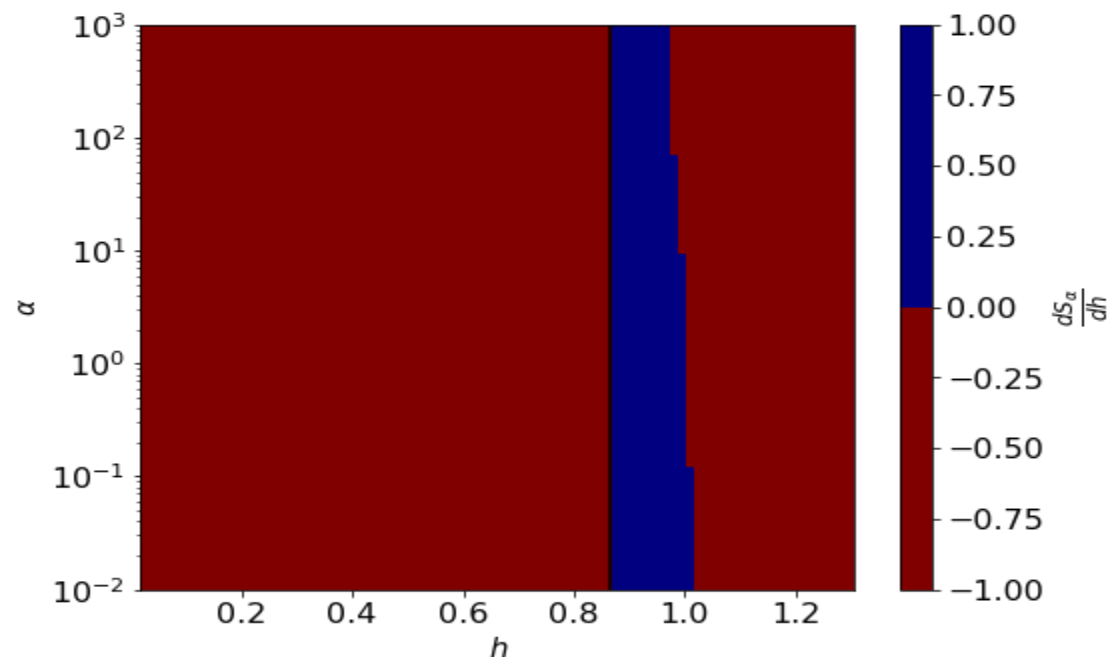


$L=20, N=100$

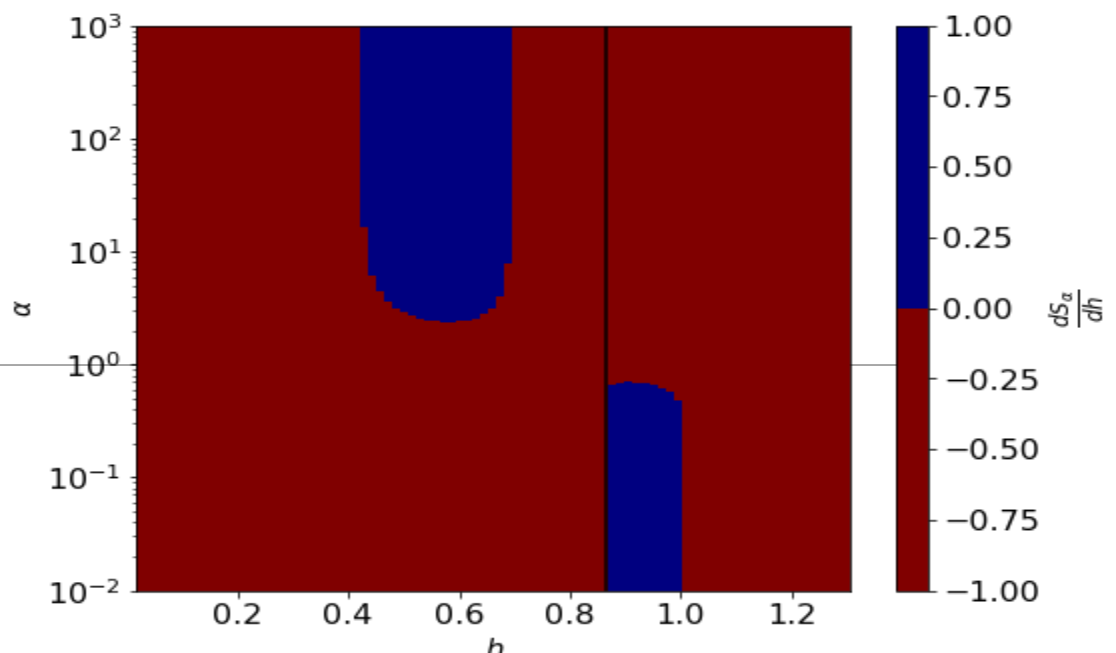


Faktorizacijska linija

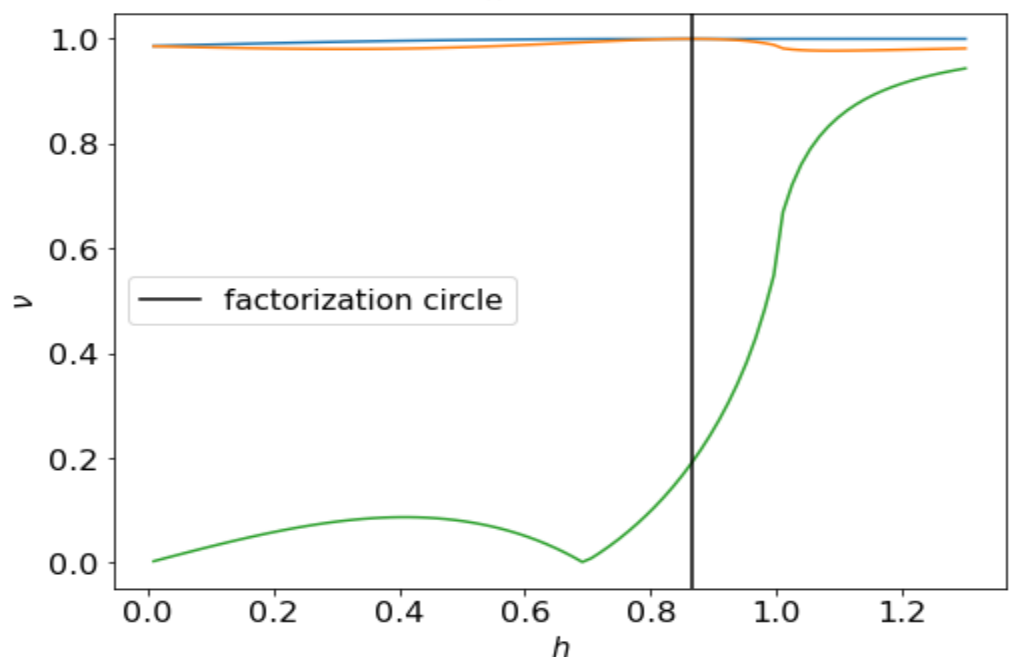
- Minimum prepletjenosti
- Promjena predznaka derivacija Renyijevih entropija
- Lokalna konvertibilnost nije svojstvo kvantne faze



L=50, N=151



L=3, N=101



Frustrirani XY lanac

- Efektivno pobuđenje u antiferomagnetskoj fazi

- Korekcija korelacijskih funkcija

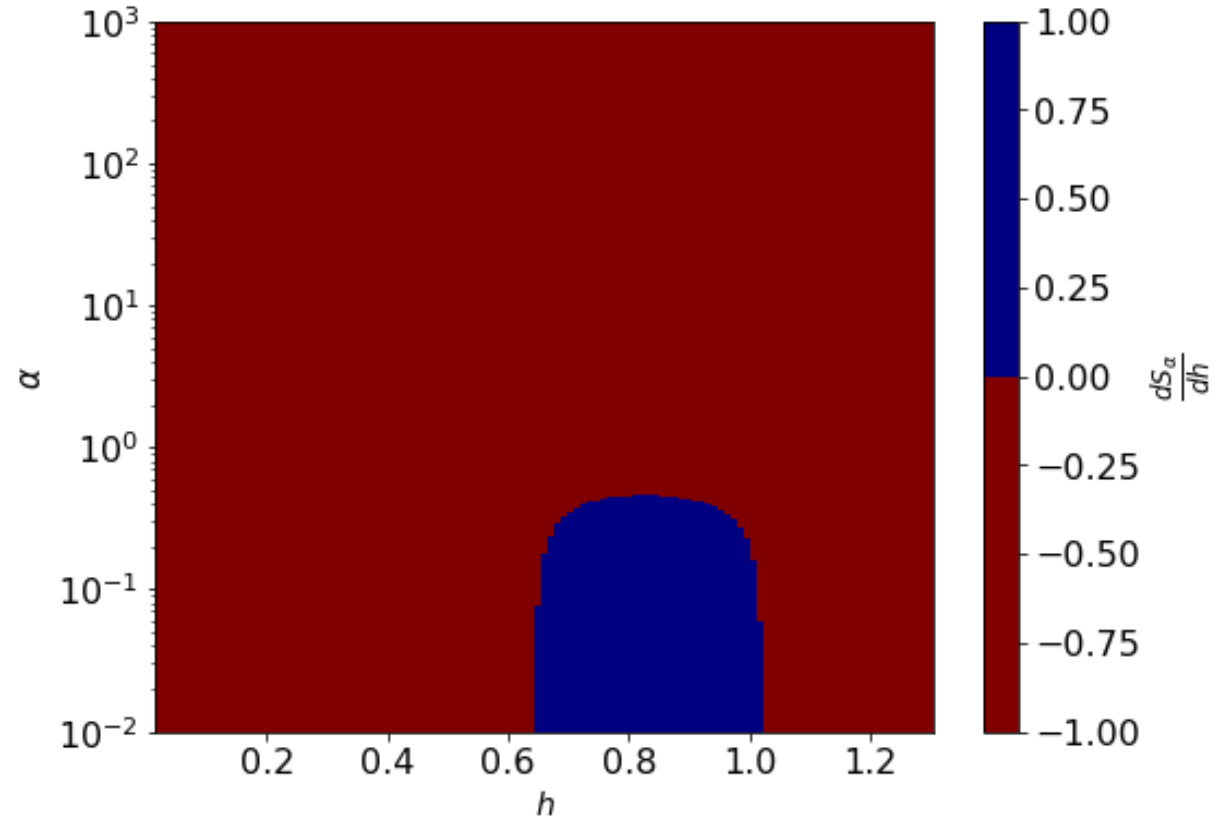
$$\langle B_j A_{j+r} \rangle = \frac{i}{N} \sum_{q \in \Gamma^+} (\sin(2\theta_q) \sin(qr) + \cos(2\theta_q) \cos(qr))$$



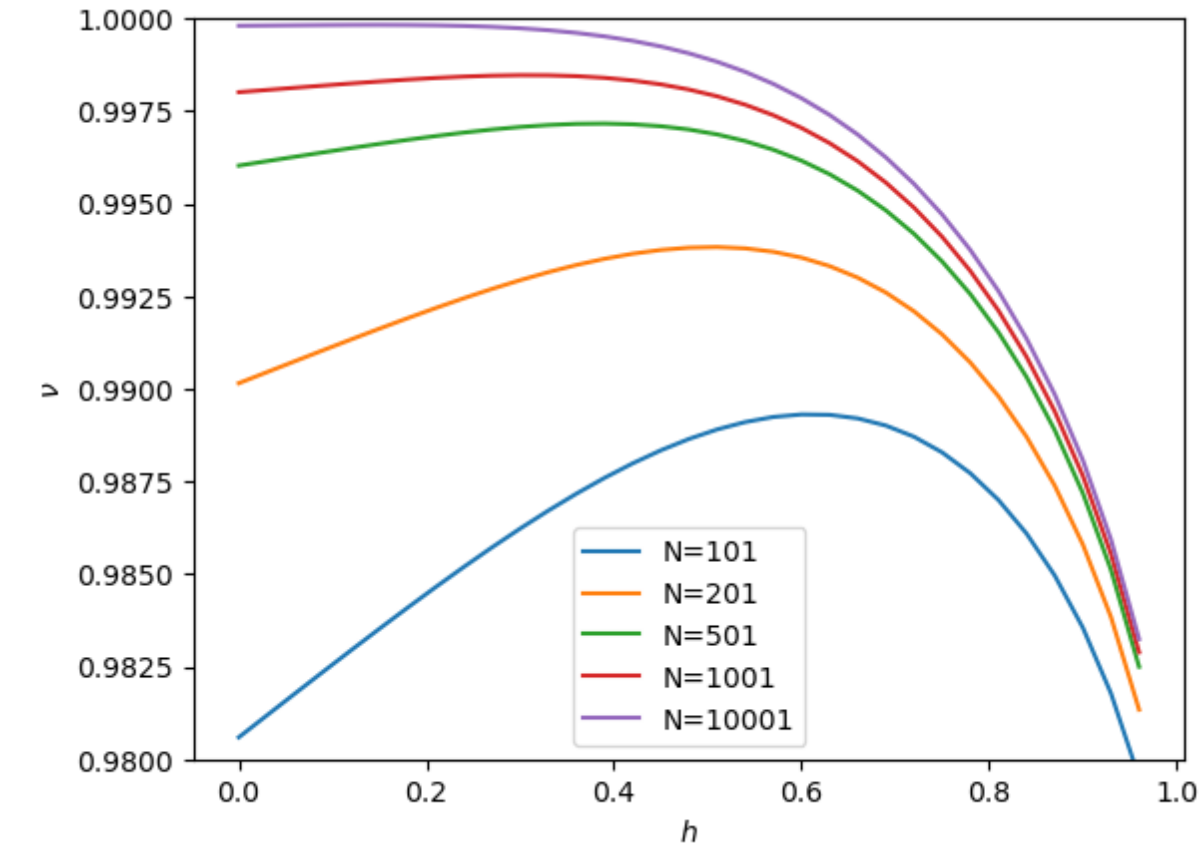
$$\langle B_j A_{j+r} \rangle = \frac{2i(-1)^r}{N} + \frac{i}{N} \sum_{q \in \Gamma^+} (\sin(2\theta_q) \sin(qr) + \cos(2\theta_q) \cos(qr))$$

- Kiralno područje ($h < 1 - \gamma^2$)

- Osnovno stanje je dvostruko degenerirano, ima impuls
 - Mijenja se paritet osnovnog stanja



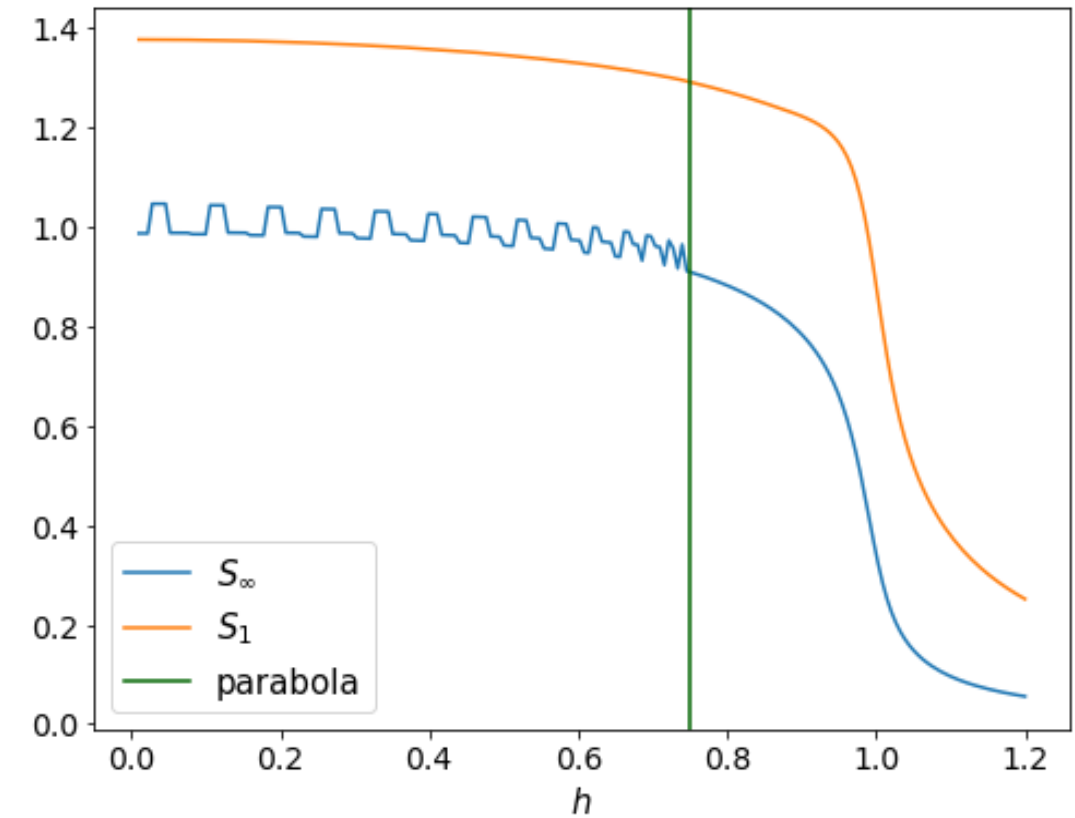
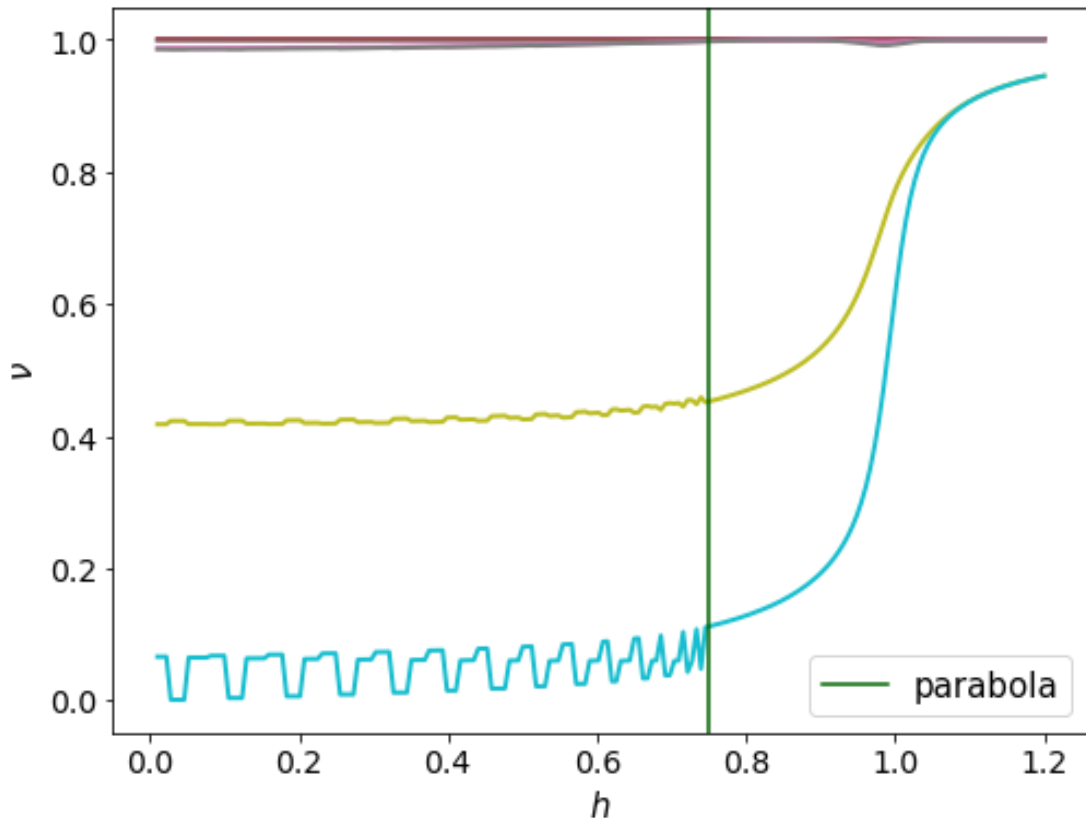
L=2, N=101



Frustrirani Isingov lanac - rezultati

Frustrirani XY lanac - rezultati

- Diskretizacija impulsa vodi na diskontinuitete u kiralnom području



L=30, N=91

W stanja

- Približna struktura osnovnog stanja u frustriranim modelima blizu klasične točke

$$|W_q\rangle = \frac{1}{\sqrt{2N}} \sum_{j=1}^N \exp(iqj)(|j\rangle + |j'\rangle)$$

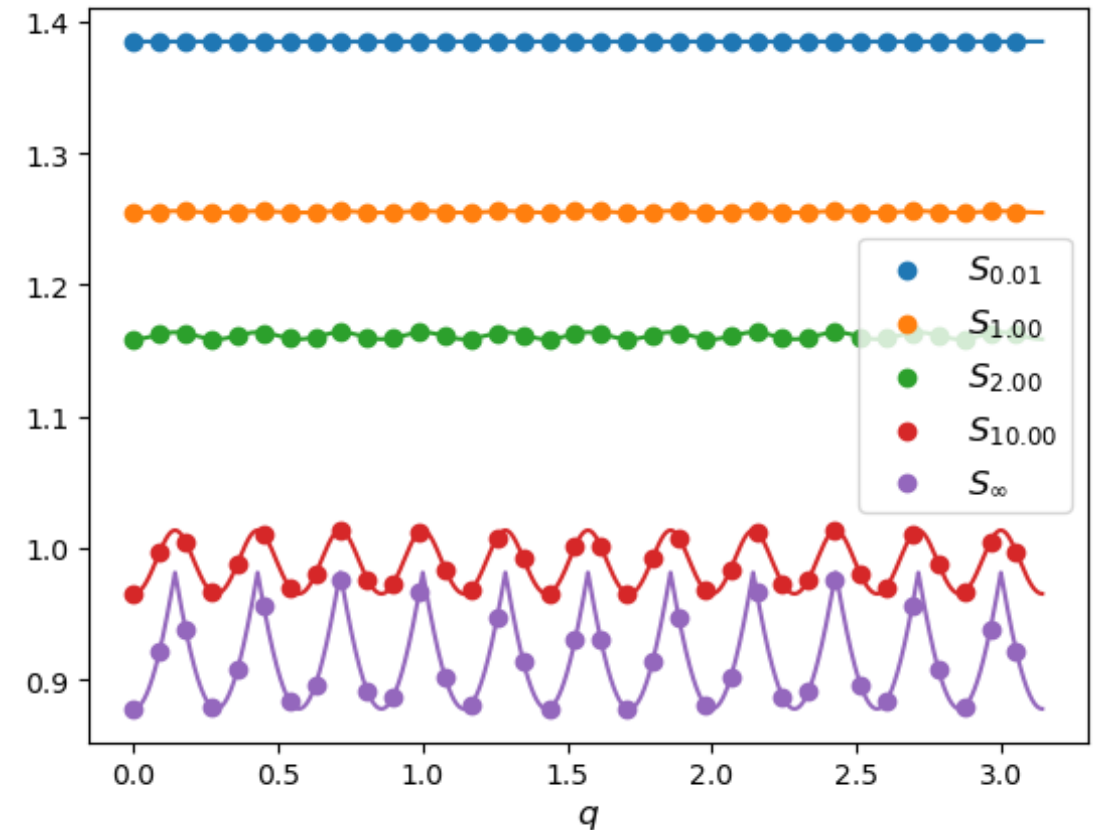
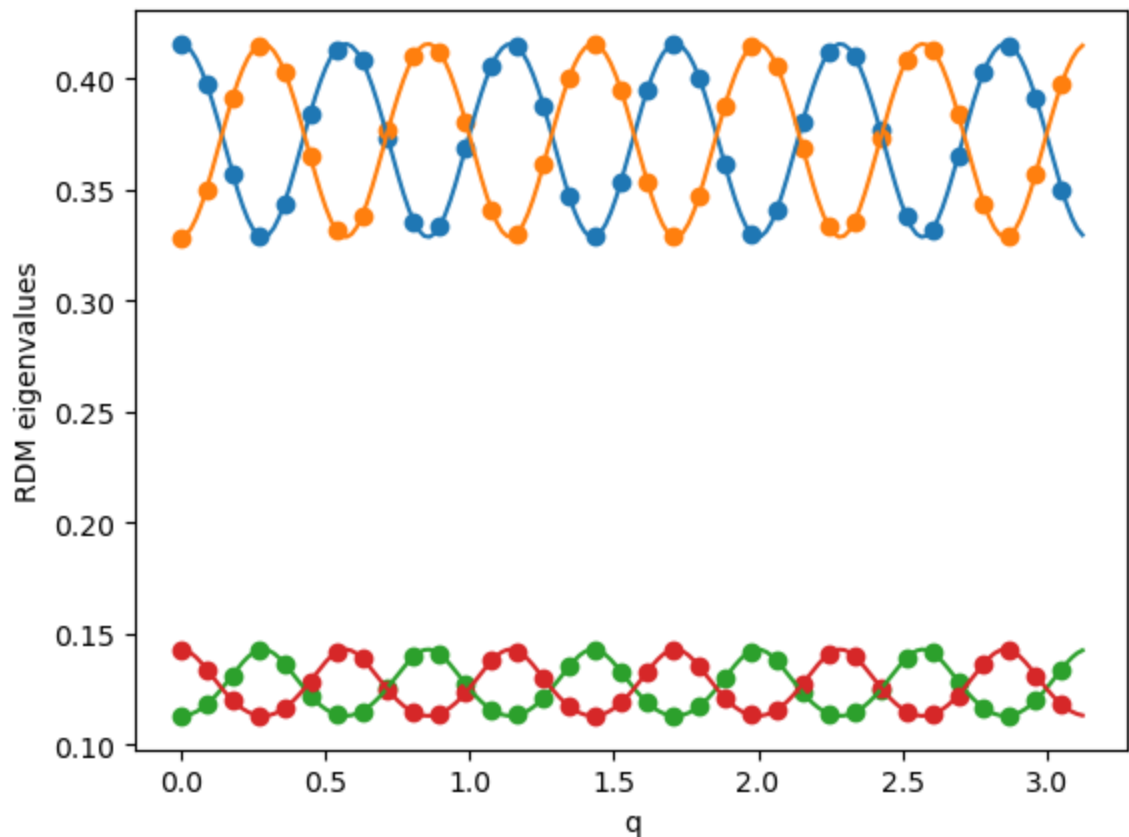
$$|j\rangle = |... + - + + - + ... \rangle \quad |j'\rangle = |... - + - - + - ... \rangle$$

- Dozvoljeni impulsi $q \in \{\frac{\pi n}{N}\}_{n=0}^{2N-1}$

- Svojstvene vrijednosti matrice gustoće

$$\lambda_{1,\dots,4} = \frac{1}{4N} \left(N + 2\chi \cos(qL) \pm \sqrt{(N - 2L)^2 + 4N(1 + \chi \cos(qL)) - 4 \sin^2(qL)} \right)$$

W stanja - oscilacije



L=11, N=35

Zaključak

- Lokalna konvertibilnost nije svojstvo kvantne faze
- Faktorizacijska linija i granica kiralnog područja imaju efekte slične faznom prijelazu
- Oscilacije u kiralnom području vode na odsustvo lokalne konvertibilnosti za bilo koji konačan N
 - Frustracija uvodi novu relevantnu skalu duljine u sustav (veličina sustava)
- Generalizirana W stanja kao struktura osnovnog stanja objašnjavaju oscilacije
 - Rezultati relevantni i za druge frustrirane sustave

Literatura

- [1] X. G. Wen, Topological orders in rigid states, International Journal of Modern Physics B 04, 239 (1990).
- [2] M. Greiner, O. Mandel, T. Esslinger, T. W. Hänsch, and I. Bloch, Quantum phase transition from a superfluid to a mott insulator in a gas of ultracold atoms, Nature 415, 39 (2002).
- [3] T. Senthil, S. Sachdev, and M. Vojta, Fractionalized fermi liquids, Phys. Rev. Lett. 90, 216403 (2003).
- [4] I. Bloch, J. Dalibard, and W. Zwerger, Many-body physics with ultracold gases, Rev. Mod. Phys. 80, 885 (2008).
- [5] M. A. Nielsen and I. L. Chuang, Quantum Computation and Quantum Information: 10th Anniversary Edition (Cambridge University Press, 2010).
- [6] D. Gross, S. T. Flammia, and J. Eisert, Most quantum states are too entangled to be useful as computational resources, Phys. Rev. Lett. 102, 190501 (2009).
- [7] M. Van den Nest, Universal quantum computation with little entanglement, Phys. Rev. Lett. 110, 060504 (2013).
- [8] M. A. Nielsen, Conditions for a class of entanglement transformations, Phys. Rev. Lett. 83, 436 (1999).
- [9] J. Simon, W. S. Bakr, R. Ma, M. E. Tai, P. M. Preiss, and M. Greiner, Quantum simulation of antiferromagnetic spin chains in an optical lattice, Nature 472, 307 (2011).
- [10] V. Marić, S. M. Giampaolo, and F. Franchini, Quantum phase transition induced by topological frustration, Communications Physics 3, 220 (2020).
- [11] A. G. Catalano, D. Brtan, F. Franchini, and S. M. Giampaolo, Simulating continuous symmetry models with discrete ones, Phys. Rev. B 106, 125145 (2022).
- [12] E. Barouch and B. M. McCoy, Statistical mechanics of the xy model. ii. spin-correlation functions, Phys. Rev. A 3, 786 (1971).

Literatura

- [13] E. Lieb, T. Schultz, and D. Mattis, Two soluble models of an antiferromagnetic chain, *Annals of Physics* 16, 407 (1961).
- [14] S. Turgut, Catalytic transformations for bipartite pure states, *Journal of Physics A: Mathematical and Theoretical* 40, 12185 (2007).
- [15] M. Klimesh, Inequalities that collectively completely characterize the catalytic majorization relation (2007), arXiv:0709.3680 [quant-ph].
- [16] L. Amico, V. Korepin, A. Hamma, S. M. Giampaolo, and F. Franchini, Local convertibility in quantum spin systems, in *Entanglement in Spin Chains: From Theory to Quantum Technology Applications*, edited by A. Bayat, S. Bose, and H. Johannesson (Springer International Publishing, Cham, 2022) pp. 151–188.
- [17] M. Z. Hasan and C. L. Kane, Colloquium: Topological insulators, *Rev. Mod. Phys.* 82, 3045 (2010).
- [18] G. Vidal, J. I. Latorre, E. Rico, and A. Kitaev, Entanglement in quantum critical phenomena, *Phys. Rev. Lett.* 90, 227902 (2003).
- [19] A. Y. Kitaev, Unpaired majorana fermions in quantum wires, *Physics-Uspekhi* 44, 131 (2001).
- [20] W. Dür, G. Vidal, and J. I. Cirac, Three qubits can be entangled in two inequivalent ways, *Phys. Rev. A* 62, 062314 (2000).
- [21] V. Marić, S. M. Giampaolo, D. Kuić, and F. Franchini, The frustration of being odd: how boundary conditions can destroy local order, *New Journal of Physics* 22, 083024 (2020).